**UPMC** 

#### Master P&A/SDUEE

## **UE 4P056** Méthodes Numériques et Calcul Scientifique

## Résolution numérique des équations différentielles ordinaires (EDO)

2018-2019

EDO

MNCS

Jacques.Lefrere@upmc.fr

TABLE DES MATIÈRES

2018-2019

MNCS

2.5.1 Exemple d'erreur totale maximale en simple précision . . . . . . 32 2.5.2 Exemple d'erreur totale maximale en double précision . . . . . . 33

2.5.3 Comparaison des erreurs maximales simple/double précision . 34

2

TABLE DES MATIÈRES

EDO TABLE DES MATIÈRES TABLE DES MATIÈRES

## Table des matières

1 Introduction

		1.2	Deux	types de problèmes différentiels à résoudre	7
		1.3	Équati	ions différentielles scalaires du 1er ordre	8
		1.4	Unicité	é et problème bien posé : conditions suffisantes	9
		1.5	Métho	des de résolution numérique et notations	10
	2	Méti	nodes	à un pas	12
		2.1	Métho	des du premier ordre	13
			2.1.1	Méthode d'Euler progressive (explicite)	13
			2.1.2	Méthode d'Euler rétrograde (implicite)	16
MNCS				1	2018-2019
EDO				TABLE DES MATIÈRES TABLE	DES MATIÈRES
	3	Métl	35		
	3.1 Méthodes d'Adams			des d'Adams	35
			3.1.1	Adams Bashforth : explicite, pas de terme en $f(t_{i+1}, u_{i+1})$ .	36
			3.1.2	Adams Moulton : implicite, terme en $f(t_{i+1},u_{i+1})$	37
			3.1.3	Comparaison méthodes à un pas et Adams explicite	39
			3.1.4	Méthodes de prédicteur correcteur	40
		3.2	Métho	des adaptatives	41
			3.2.1	Exemple : méthode de Runge Kutta Fehlberg	42
		3.3	Métho	des d'extrapolation de Gragg	43
			3.3.1	Principe de l'extrapolation	43
			3.3.2	Comparaison méthodes à un pas et extrapolation de Gragg	46
	4	Les	EDO d	u premier ordre en pratique	47

3

2018-2019

	4.1	Échelles de temps et problèmes raides	47		
	4.2	Validation des résultats	48		
	4.3	Structure des programmes de résolution d'EDO du 1er ordre	49		
5	Sys	tèmes d'EDO du 1 <sup>er</sup> ordre	50	7.2	2 En fortrar
	5.1	Méthodes scalaires explicites	50	7.5	B En C89 a
	5.2	Équations de Lotka-Volterra	53		1 En C99 a
6	Équ	nations différentielles d'ordre supérieur	57	D:	hliographia
	6.1	Exemple	58	ы	bliographie
	6.2	Exemple d'EDO d'ordre 2 : le pendule	59		
7	Imp	lémentation vectorielle	67		
		Introduction	67		
	7.1	Introduction	07		

 7.2 En fortran (norme 2003)
 68

 7.3 En C89 avec des tableaux dynamiques
 71

 7.4 En C99 avec des tableaux automatiques
 74

1 Introduction

EDO

1 Introduction

5

1.2 Deux types de problèmes différentiels à résoudre

77

2018-2019

## 1 Introduction

MNCS

EDO

#### 1.1 Problème différentiel

— équation différentielle scalaire d'ordre n

$$\boxed{\frac{\mathrm{d}^{n} y}{\mathrm{d}t^{n}} = f\left(t, \ y, \ \frac{\mathrm{d}y}{\mathrm{d}t}, \ \dots, \ \frac{\mathrm{d}^{n-1}y}{\mathrm{d}t^{n-1}}\right)}$$

où f est la fonction second membre donnée

 $\Rightarrow$  famille de solutions y(t) à n paramètres

— ensemble de n conditions imposées

⇒ choix d' une solution dans la famille

## 1.2 Deux types de problèmes différentiels à résoudre

— Conditions initiales données pour une seule valeur  $t_0$  de t, par exemple

$$y(t_0) = y_0, \quad y'(t_0) = y'_0, \dots, \quad y^{(n-1)}(t_0) = y_0^{(n-1)}$$

Problème de conditions initiales ou de Cauchy

— Conditions données pour des valeurs distinctes de la variable indépendante t, par exemple :

$$y(t_0) = y_0, \quad y(t_1) = y_1, \dots, \quad y(t_{n-1}) = y_{n-1}$$

Problème de conditions aux limites (non traité, sauf problème de tir).

MNCS 6 2018-2019 MNCS 7 2018-2019

MNCS

## 1.3 Équations différentielles scalaires du 1er ordre

Étudier d'abord les équations différentielles scalaires du premier ordre.

 $\Rightarrow$  famille de solutions y(t) à un paramètre  $(y_0)$ 

$$rac{\mathrm{d}y}{\mathrm{d}t} = f(t,\;y(t)) \quad ext{avec} \quad y(t_0) = y_0 \quad ext{condition initiale}$$

Les EDO d'ordre supérieur se ramènent à des systèmes différentiels couplés du premier ordre (EDO vectorielles du premier ordre).

MNCS 8 2018-2019

EDO 1 Introduction

1.5 Méthodes de résolution numérique et notations

## 1.5 Méthodes de résolution numérique et notations

**Résolution numérique** approchée sur l'intervalle  $[t_0,t_0+L]$  de longueur L

**Discrétisation** par découpage de l'intervalle de longueur L selon un pas constant h

Solution numérique :  $u_i = \operatorname{approximation} \operatorname{de} y(t_i)$ 

À partir de la  $\,$  condition initiale  $u_0=y(t_0)\,$  imposée,

faire une **boucle** sur les abscisses  $t_i$  pour calculer l'approximation  $u_{i+1}$  à  $t_{i+1}$ 

- ightarrow approximer ainsi de proche en proche la solution sur l'intervalle L.
- ⇒ accumulation des erreurs dans la boucle

À chaque pas de la boucle, pour calculer  $u_{i+1}$ , on peut s'appuyer :

- sur la dernière valeur calculée  $u_i$  : méthodes à un pas
- sur **plusieurs valeurs**  $u_{i-k}(k\geqslant 0)$  antérieurement calculées : **méthodes à plusieurs pas** (initialisation nécessaire par méthode à un pas)

#### 1.4 Unicité et problème bien posé : conditions suffisantes

#### La condition de Lipschitz

$$|f(t, y_2) - f(t, y_1)| \le K |y_2 - y_1|$$

assure l'unicité de la solution.

 $\left|\frac{\partial f}{\partial y}(t,y)\right|\leqslant K \text{ dans un domaine convexe} \Rightarrow \text{condition de Lipschitz vérifiée}.$ 

Les erreurs d'arrondi amènent à toujours résoudre un problème perturbé.

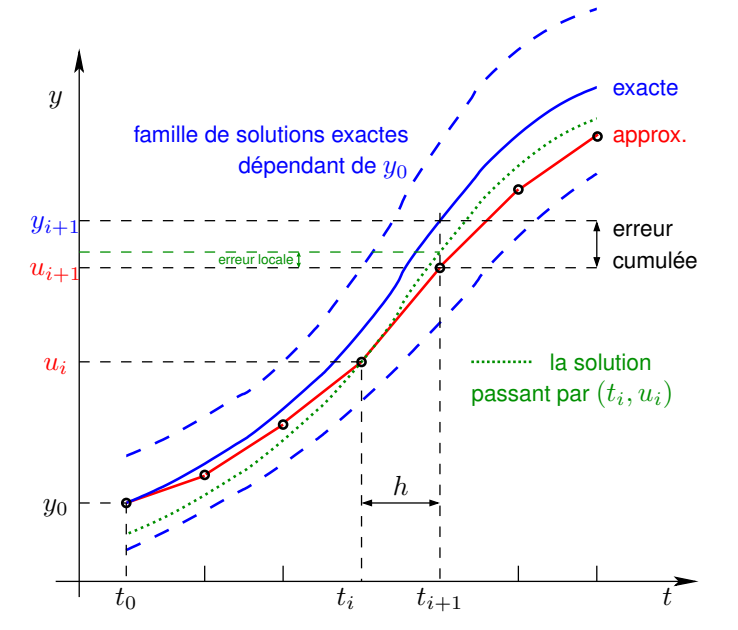
Problème bien posé si : le problème faiblement perturbé (second membre ou condition initiale) possède une solution proche de celle du problème original. La condition de Lipschitz assure que le problème est bien posé.

MNCS 9 2018-2019

11

1 Introduction

1.5 Méthodes de résolution numérique et notations



## Méthode à pas constant

Découpage de l'intervalle de longueur L selon un pas fixe h=L/n.

 $u_i = ext{approximat.}$  de  $y(t_i)$ 

Un pas :

 $t_i \to t_{i+1}$ 

 $u_i \to u_{i+1}$ 

MNCS 10 2018-2019

2018-2019

## Méthodes à un pas

Constituent l'algorithme de base qui permet d'estimer la valeur de la solution à l'instant  $t_{i+1} = t_i + h$ , connaissant seulement  $u_i$ , celle à  $t_i$ .

2 Méthodes à un pas

La valeur à estimer peut être approchée par un développement limité de Taylor :

$$y(t_i + h) = y(t_i) + h \frac{dy}{dt}(t_i) + \frac{h^2}{2} \frac{d^2y}{dt^2}(t_i) + \cdots$$
 (1)

Ordre n de la méthode = plus grande puissance de h prise en compte dans l'approximation.

- Somme des termes négligés = erreur de troncature locale  $\propto h^{n+1}$ déterministe, augmente si le pas h augmente et si l'ordre de la méthode diminue
- Précision finie des opérations sur les réels ⇒ erreur d'arrondi aléatoire augmente lorsque les calculs se compliquent, en particulier si le pas h diminue.

Indépendamment du coût (en temps de calcul) des opérations, et des cas où la fonction est tabulée, ne pas croire que diminuer le pas améliore toujours la qualité du résultat : un compromis doit être trouvé entre ces deux types d'erreurs.

#### Méthode d'Euler progressive (explicite)

Méthodes du premier ordre

Méthode du premier ordre d'intérêt pédagogique, à éviter en pratique

$$u_{i+1} = u_i + hf(t_i, \mathbf{u_i})$$
 (2)

MNCS 12 2018-2019 MNCS 13 2018-2019

EDO

EDO 2 Méthodes à un pas 2.1 Méthodes du premier ordre EDO 2 Méthodes à un pas 2.1 Méthodes du premier ordre

#### Exemple: stabilité

$$\frac{\mathrm{d}y}{\mathrm{d}t} = -\frac{y}{\tau} \quad \Rightarrow \quad \text{solution analytique} \quad y = y_0 e^{-t/\tau} \Rightarrow y_n = y_0 (e^{-h/\tau})^n$$

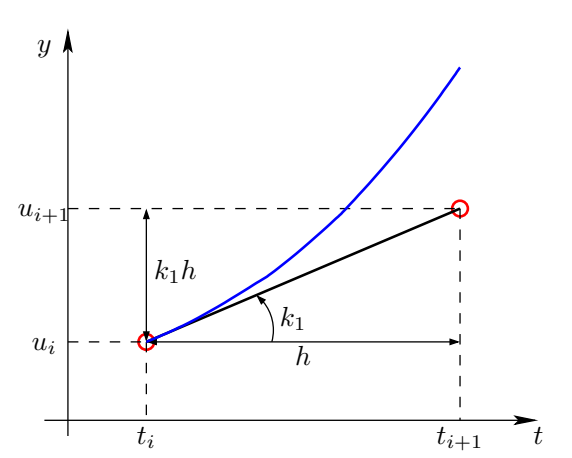
$$u_{i+1} = u_i - \frac{h}{\tau} u_i \quad \Rightarrow \quad \text{solution numérique} \quad u_n = y_0 \left(1 - h/\tau\right)^n$$

Si  $\tau > 0$ , la solution exacte vérifie  $y(\infty) = 0$ ,

Mais pour l'approximation,  $u_n \to 0 \iff |1 - h/\tau| < 1 \iff 0 < h < 2\tau$ . Condition de stabilité :

(pas h petit)

Mais, si  $h > \tau$ , alors  $(1 - h/\tau) < 0$ : alternance de signe de la solution  $u_n$ .



#### Méthode d'Euler

Méthode explicite qui ne nécessite au'une seule évaluation de la fonction second membre f par pas:  $k_1 = f(t_i, u_i)$ facilement instable

$$\frac{u_{i+1} - u_i}{h} = f(t_i, u_i)$$

voir dérivée avant

#### 2.1.2 Méthode d'Euler rétrograde (implicite)

$$u_{i+1} = u_i + h f(t_{i+1}, \mathbf{u_{i+1}})$$
(3)

Méthode **implicite**: **résolution itérative**, plus difficile à mettre en œuvre, sauf si la forme de f(t,u) permet le calcul analytique de  $u_{i+1}$  à partir de l'équation (3). Avantage: meilleure **stabilité** que la méthode progressive explicite.

#### Exemple: stabilité

$$\frac{\mathrm{d}y}{\mathrm{d}t} = -\frac{y}{\tau} \quad \Rightarrow \quad \text{solution analytique} \quad y = y_0 e^{-t/\tau} \Rightarrow y_n = y_0 (e^{-h/\tau})^n$$

$$u_{i+1} = u_i - \frac{h}{\tau} u_{i+1} \quad \Rightarrow \quad \text{solution num\'erique} \quad u_{i+1} = \frac{u_i}{1 + h/\tau}$$

$$u_n = \frac{y_0}{\left(1 + h/\tau\right)^n}$$

Si  $\tau > 0, \ y(\infty) = 0$ , et aussi  $u_n \to 0 \quad \forall \tau > 0, \ \forall h > 0$  solution stable

MNCS 16 2018-2019

EDO 2 Méthodes à un pas 2.1 Méthodes du premier ordre EDO 2 Méthodes à un pas 2.2 Méthodes du deuxième ordre

**Boucle** pour recherche du point fixe de  $q(v_2) = v_2' = u_i + h f(t_2, v_2)$ 

$$k_2 = f(t_2, v_2)$$
  $v_2' = u_i + hk_2$   $\delta v_2 = v_2' - v_2$  arrêt si  $|\delta v_2|^2 \leqslant \alpha^2 |v_2|^2$   $v_2 = v_2'$ 

La fonction g est contractante si  $g'(v_2) = h \left| \frac{\partial f}{\partial v_2} \right| \leqslant 1$  ce qui est vérifié si le pas est assez faible.

Rappel : la condition de Lipschitz est  $\left| \frac{\partial f}{\partial v_2} \right| \leqslant K$ 

Critère d'arrêt : choisir  $\alpha$  faible, mais  $\alpha > \varepsilon$ .

## Mise en œuvre de la méthode d'Euler rétrograde : résolution de l'équation implicite par itération

$$u_{i+1} = u_i + hf(t_{i+1}, \mathbf{u_{i+1}})$$

Itérer l'application g pour rechercher son **point fixe** 

$$v_2' = g(v_2) = u_i + hf(t_2, v_2)$$

Ce point fixe est la solution de l'équation implicite.

- Utilise plusieurs évaluations du second membre, sans calcul de ses dérivées.
- Très peu d'itérations nécessaires

Initialisation par le prédicteur avec Euler progressif

$$t_2 = t_i + h$$
  

$$k_1 = f(t_i, u_i)$$
  

$$v_2 = u_i + hk_1$$

MNCS 17 2018-2019

#### 2.2 Méthodes du deuxième ordre

Première idée : augmenter le nombre de termes du développement de Taylor : rarement utilisé, car nécessite l'évaluation des dérivées partielles de f.

$$\frac{\mathrm{d}y}{\mathrm{d}t} = f(t, y(t)) \qquad \Rightarrow \qquad \frac{\mathrm{d}^2y}{\mathrm{d}t^2} = \frac{\partial f}{\partial t} + \frac{\partial f}{\partial y}\frac{\mathrm{d}y}{\mathrm{d}t} = \frac{\partial f}{\partial t} + f\frac{\partial f}{\partial y} \tag{6}$$

Préférer utiliser plusieurs évaluations du second membre f en des points adaptés.

Centrer l'évaluation de la dérivée au point milieu  $t_m = (t_i + t_{i+1})/2$ .

$$y(t_i + h) = y(t_m) + \frac{h}{2} \frac{\mathrm{d}y}{\mathrm{d}t}(t_m) + \frac{1}{2} \frac{h^2}{4} \frac{\mathrm{d}^2 y}{\mathrm{d}t^2}(t_m) + O(h^3)$$
 (7a)

$$y(t_i) = y(t_m) - \frac{h}{2} \frac{\mathrm{d}y}{\mathrm{d}t}(t_m) + \frac{1}{2} \frac{h^2}{4} \frac{\mathrm{d}^2y}{\mathrm{d}t^2}(t_m) + O(h^3)$$
 (7b)

Par différence, (approximation locale parabolique, voir aussi dérivée centrée à 2 termes)

$$y(t_i + h) - y(t_i) = h \frac{\mathrm{d}y}{\mathrm{d}t}(t_m) + O(h^3)$$

MNCS 18 2018-2019 MNCS 19 2018-2019

#### 2.2.1 Méthode du point milieu

Nécessite l'évaluation du second membre f en 2 points :

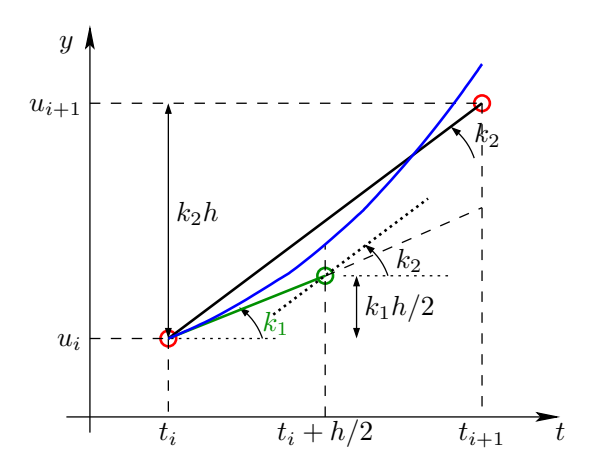
en  $(t_i, u_i)$  et au milieu  $(t_{i+1/2} = t_i + h/2, u_{i+1/2})$  d'un pas (hors grille).

$$u_{i+1} = u_i + hf\left(t_i + \frac{h}{2}, \ u_i + \frac{h}{2}f(t_i, u_i)\right)$$

$$k_1 = f(t_i, \ u_i) \tag{8a}$$

$$(u_{i+1/2} \text{ calcul\'e via Euler})$$
  $k_2 = f(t_i + \frac{h}{2}, \ u_i + k_1 \frac{h}{2})$  (8b)

$$u_{i+1} = u_i + h \underline{k_2} \tag{8c}$$



## Méthode du point milieu

Méthode explicite
qui nécessite deux
évaluations du second
membre par pas dont
une hors grille.

2018-2019

MNCS 20 2018-2019 MNCS

EDO 2 Méthodes à un pas 2.2 Méthodes du deuxième ordre EDO 2 Méthodes à un pas 2.2 Méthodes du deuxième ordre

#### 2.2.2 Méthode d'Euler modifiée

En appliquant 7a et 7b à la dérivée et en faisant la somme, on peut remplacer la dérivée au milieu par la moyenne des dérivées aux extrémités de l'intervalle (voir méthode de quadrature dite des trapèzes) :

$$\frac{\mathrm{d}y}{\mathrm{d}t}(t_i) + \frac{\mathrm{d}y}{\mathrm{d}t}(t_{i+1}) = 2\frac{\mathrm{d}y}{\mathrm{d}t}(t_m) + O(h^2)$$

D'où une approximation n'utilisant pas la valeur de f au point milieu  $t_m$  :

$$u_{i+1} = u_i + \frac{h}{2} [f(t_i, u_i) + f(t_{i+1}, \mathbf{u_{i+1}})]$$

De nouveau, méthode a priori **implicite**, plus stable, mais plus lourde.

 $\Rightarrow$  Contournement du problème en utilisant l'approximation d'Euler explicite (voir 2) pour évaluer  $u_{i+1}$  intervenant dans f.

$$u_{i+1} = u_i + \frac{h}{2} \left[ f(t_i, u_i) + f(t_{i+1}, u_i + hf(t_i, u_i)) \right]$$

Bilan : méthode de type prédicteur-correcteur équivalent à

- un demi-pas avec la pente initiale  $k_1$
- et un demi-pas avec la pente  $k_2$  du point prédit par Euler progressif.

21

$$k_1 = f(t_i, u_i) (9a)$$

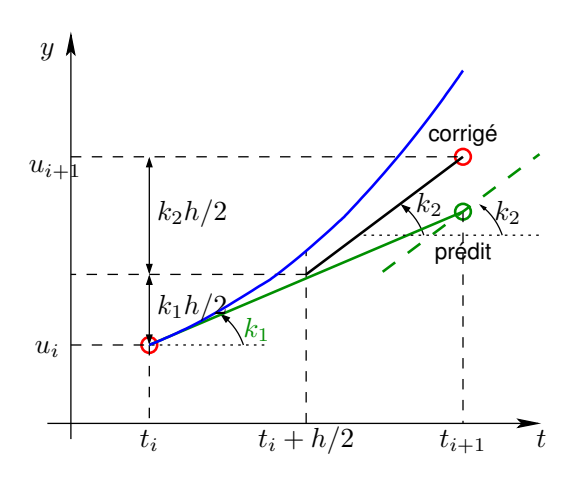
$$\mathbf{k_2} = f(t_{i+1}, \ u_i + k_1 h)$$
 (9b)

$$u_{i+1} = u_i + \frac{h}{2} \left[ k_1 + \frac{k_2}{2} \right] \tag{9c}$$

#### Remarques

- deuxième ordre comme point milieu mais sans évaluation hors grille
- la résolution de l'équation implicite peut se faire en itérant la correction jusqu'à ce qu'elle devienne négligeable.

MNCS 22 2018-2019 MNCS 23 2018-2019



## Méthode d'Euler modifiée

Méthode explicite qui nécessite deux évaluations de la fonction par pas en des points de la grille.

MNCS 24 2018-2019 MNCS 25 2018-2019

EDO 2 Méthodes à un pas 2.3 Méthodes de Runge Kutta EDO 2 Méthodes à un pas 2.3 Méthodes de Runge Kutta

#### 2.3.1 Méthode de Runge Kutta d'ordre 3

$$k_1 = f(t_i, u_i) \tag{11a}$$

$$k_2 = f(t_i + \frac{h}{2}, \ u_i + k_1 \frac{h}{2})$$
 (11b)

$$k_3 = f(t_i + h, \ u_i + (2k_2 - k_1)h)$$
 (11c)

$$u_{i+1} = u_i + (k_1 + 4k_2 + k_3)\frac{h}{6}$$
 (11d)

#### 2.2.3 Méthode de Heun

$$k_1 = f(t_i, u_i) \tag{10a}$$

$$k_2 = f(t_i + \frac{2}{3}h, \ u_i + \frac{2}{3}k_1h)$$
 (10b)

$$u_{i+1} = u_i + \frac{h}{4} \left[ k_1 + 3 \frac{k_2}{2} \right] \tag{10c}$$

## 2.3 Méthodes de Runge Kutta

Plus généralement, avec r évaluations de f, on peut atteindre une méthode d'ordre r si  $r\leqslant 4$ . Pour atteindre l'ordre 5, six évaluations sont nécessaires.

⇒ la méthode de Runge Kutta d'ordre 4 est très utilisée.

Les méthodes de Runge-Kutta sont stables.

#### 2.3.2 Méthode de Runge Kutta d'ordre 4

$$k_1 = f(t_i, \ u_i) \tag{12a}$$

$$k_2 = f(t_i + \frac{h}{2}, \ u_i + k_1 \frac{h}{2})$$
 (12b)

$$k_3 = f(t_i + \frac{h}{2}, \ u_i + \frac{h}{2})$$
 (12c)

$$k_4 = f(t_i + h, \ u_i + k_3 h)$$
 (12d)

$$u_{i+1} = u_i + (k_1 + 2\mathbf{k_2} + 2k_3 + k_4)\frac{h}{6}$$
 (12e)

MNCS 26 2018-2019 MNCS 27 2018-2019

### 2.4 Erreur absolue en fonction du pas et de l'ordre

nombre de pas =L/h  $\implies$  erreur globale  $\sim$  erreur locale  $\times$  L/h

TABLE 1 – Erreur de troncature seule

Méthode	ordre	erreur locale	erreur globale
Euler explicite	1	$\propto h^2$	$\propto h$
Point milieu – Euler modifiée	2	$\propto h^3$	$\propto h^2$
Runge-Kutta 3	3	$\propto h^4$	$\propto h^3$
Runge-Kutta 4	4	$\propto h^5$	$\propto h^4$

Erreur d'arrondi locale indépendante de  $h \Rightarrow$  erreur d'arrondi globale  $\propto 1/h$ 

MNCS 28 2018-2019

EDO 2 Méthodes à un pas 2.5 Exemple de l'équation logistique

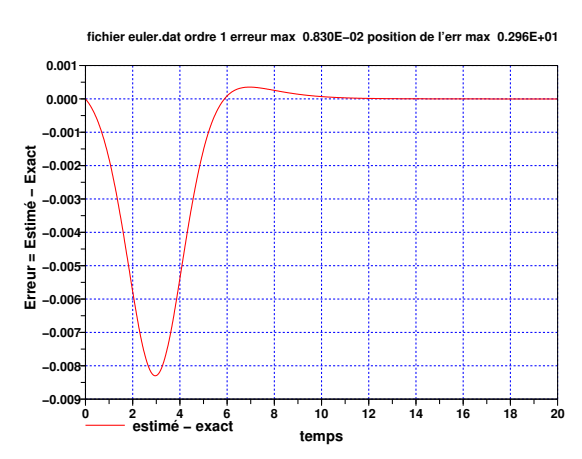


FIGURE 2 – Erreur dans l'intégration de l'équation logistique avec la méthode d'Euler pour h=0,02. L'allure régulière montre que l'erreur de troncature domine. Erreur de troncature locale liée à la courbure de la solution

# 2.5 Exemple de l'équation logistique $\frac{\mathrm{d}y}{\mathrm{d}t} = y(1-y/2)$

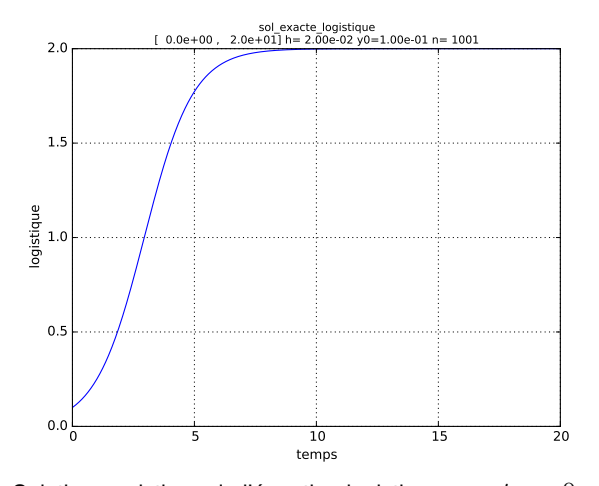


FIGURE 1 – Solution analytique de l'équation logistique pour  $t_0=0,\,y(t_0)=0.1,$  a=1 et k=2.

MNCS 29 2018-2019

EDO 2 Méthodes à un pas

2.5 Exemple de l'équation logistique

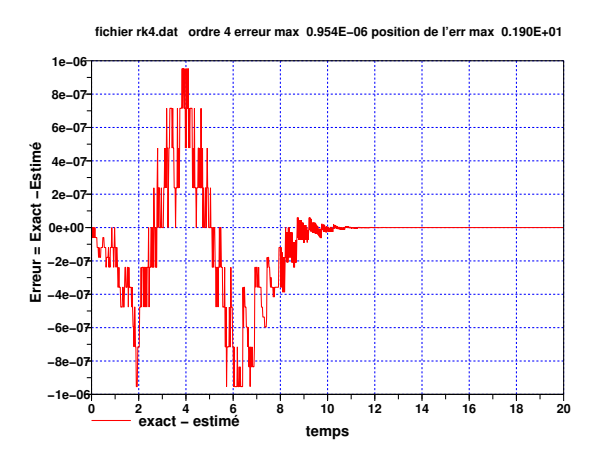
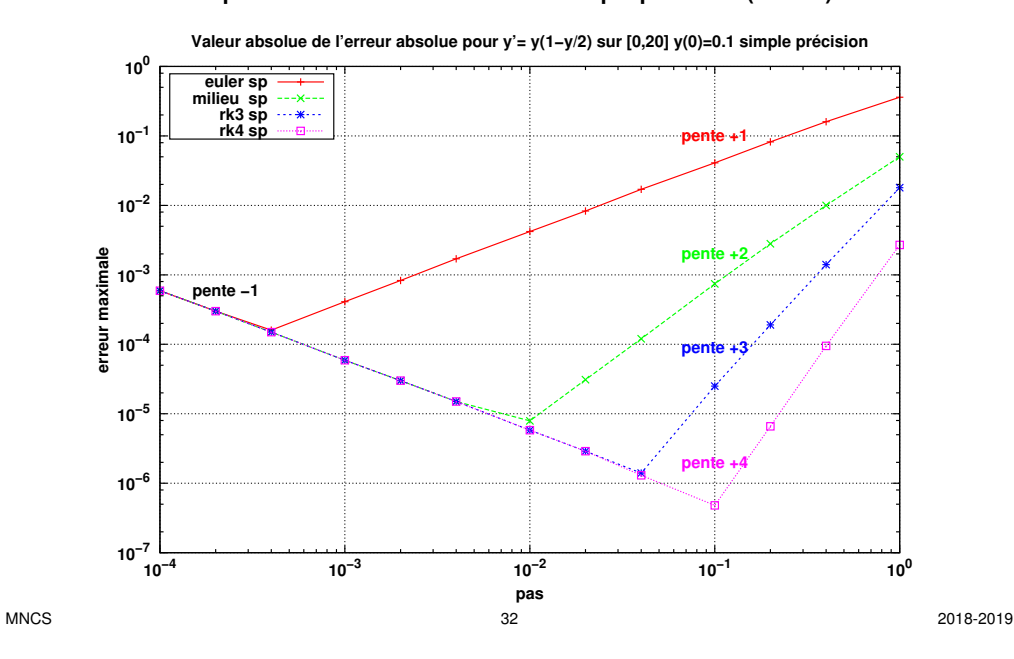


FIGURE 3 – Erreur dans l'intégration de l'équation logistique avec Runge Kutta d'ordre 4 pour h=0,02. L'allure **bruitée** est caractéristique de l'**erreur d'arrondi** et on retrouve les niveaux de quantification des réels sur 32 bits.

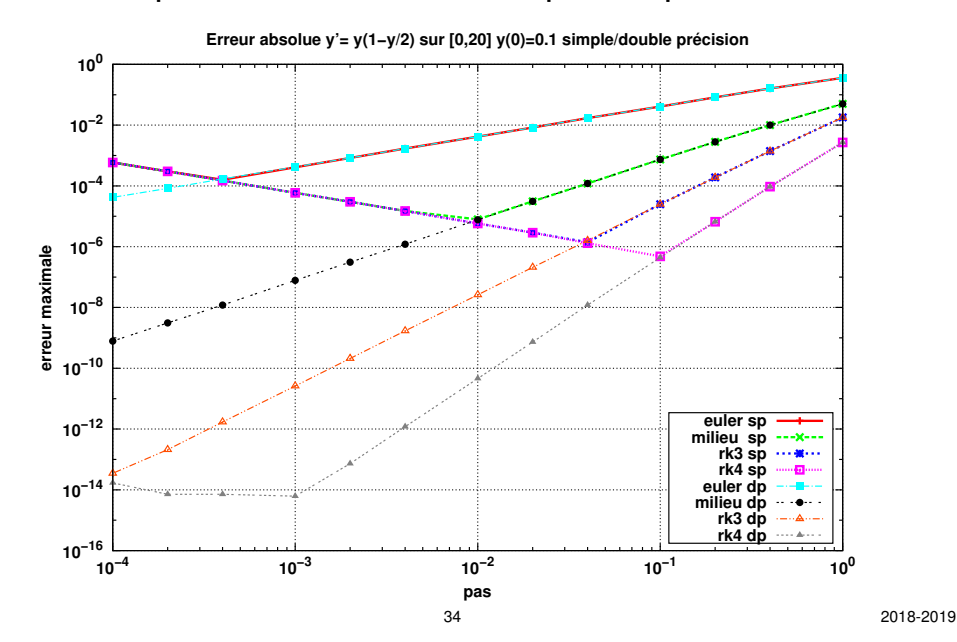
MNCS

#### 2.5.1 Exemple d'erreur totale maximale en simple précision (32 bits)

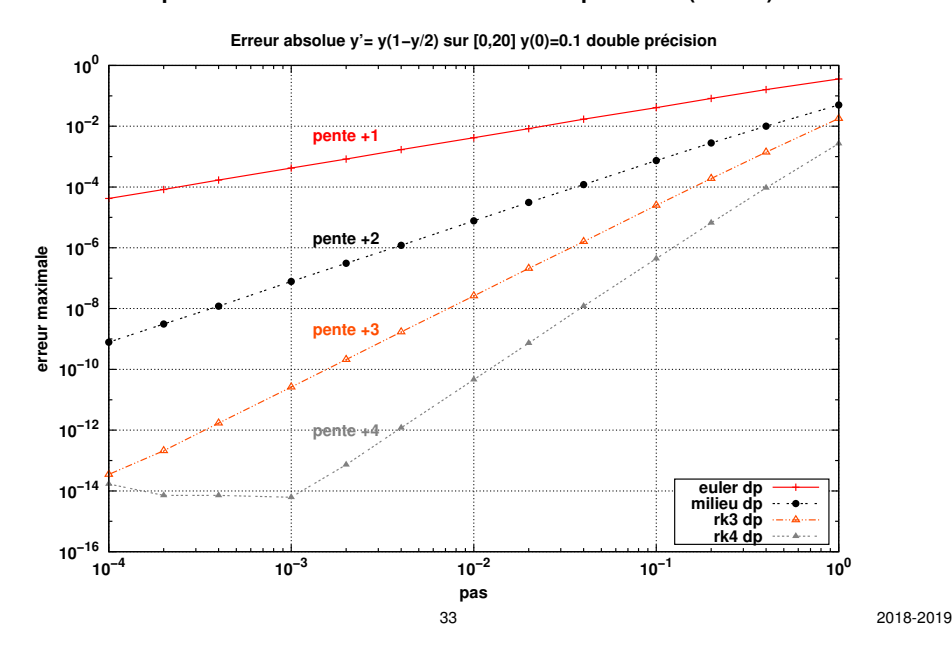


EDO 2 Méthodes à un pas 2.5 Exemple de l'équation logistique

#### 2.5.3 Comparaison des erreurs maximales simple/double précision



#### 2.5.2 Exemple d'erreur totale maximale en double précision (64 bits)



EDO 3 Méthodes à plusieurs pas

## 3 Méthodes à plusieurs pas

#### 3.1 Méthodes d'Adams

**Principe :** les erreurs augmentent avec l'intégration, les points les plus proches de la valeur initiale ont tendance à être plus fiables. Pour calculer  $u_{i+1}$ , on peut s'appuyer non seulement sur la dernière valeur estimée  $u_i$ , mais sur les m précédentes.

- si le calcul invoque la pente au point recherché  $f(t_{i+1},u_{i+1})$ , la méthode est **implicite** (voir 2.1.2) : ADAMS-MOULTON
- sinon elle est **explicite** : ADAMS-BASHFORTH .

Dans les deux cas, il faut **initialiser** le calcul par une méthode à un pas sur les m premiers points.

Le calcul réutilise les évaluations antérieures du second membre.

⇒ stocker ces valeurs pour économiser les calculs

MNCS

EDO

MNCS

### 3.1.1 Adams Bashforth : explicite, pas de terme en $f(t_{i+1}, u_{i+1})$

Adams-Bashforth utilise m points à gauche de  $t_{i+1}$ :

$$u_{i+1} = u_i + \beta h \sum_{j=1}^{m} \alpha_j f(t_{i-j+1}, u_{i-j+1})$$
 avec  $\beta \sum_{j=1}^{m} \alpha_j = 1$ 

méthode d'ordre m, mais une seule nouvelle évaluation du second membre à chaque pas

MNCS 36 2018-2019

EDO 3 Méthodes à plusieurs pas 3.1 Méthodes d'Adams

## 3.1.2 Adams Moulton: implicite, terme en $f(t_{i+1}, u_{i+1})$

Adams-Moulton utilise m+1 points dont  $t_{i+1}$  donc implicite :

$$u_{i+1} = u_i + \beta h \sum_{j=0}^{m} \alpha_j f(t_{i-j+1}, u_{i-j+1})$$
 avec  $\beta \sum_{j=0}^{m} \alpha_j = 1$ 

méthode d'ordre m+1 (nombre d'évaluations du second membre)

$$m$$
 $\beta$ 
 $\alpha_0$ 
 $\alpha_1$ 
 $\alpha_2$ 
 $\alpha_3$ 

 0
 1
 1
 ...
 ...

 1
 1/2
 1
 1
 ...
 ...

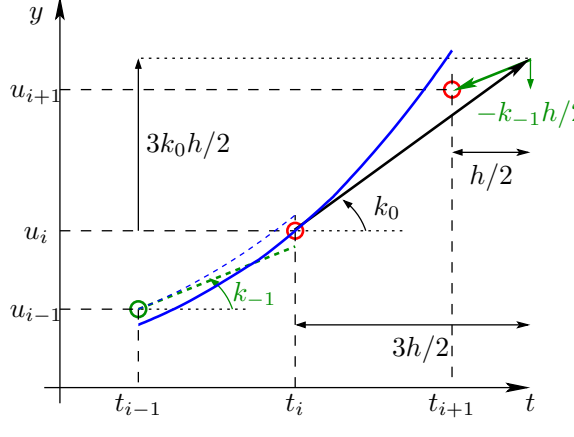
 2
 1/12
 5
 8
 -1
 ...

 3
 1/24
 9
 19
 -5
 1

Éviter les difficultés de l'implicite en utilisant un prédicteur explicite de  $u_{i+1}$ , injecté ensuite dans l'expression d'Adams-Moulton vue comme correcteur.

#### Exemple: Adams-Bashforth à deux pas

$$u_{i+1} = u_i + \frac{h}{2} \left[ 3f(t_i, u_i) - f(t_{i-1}, u_{i-1}) \right]$$



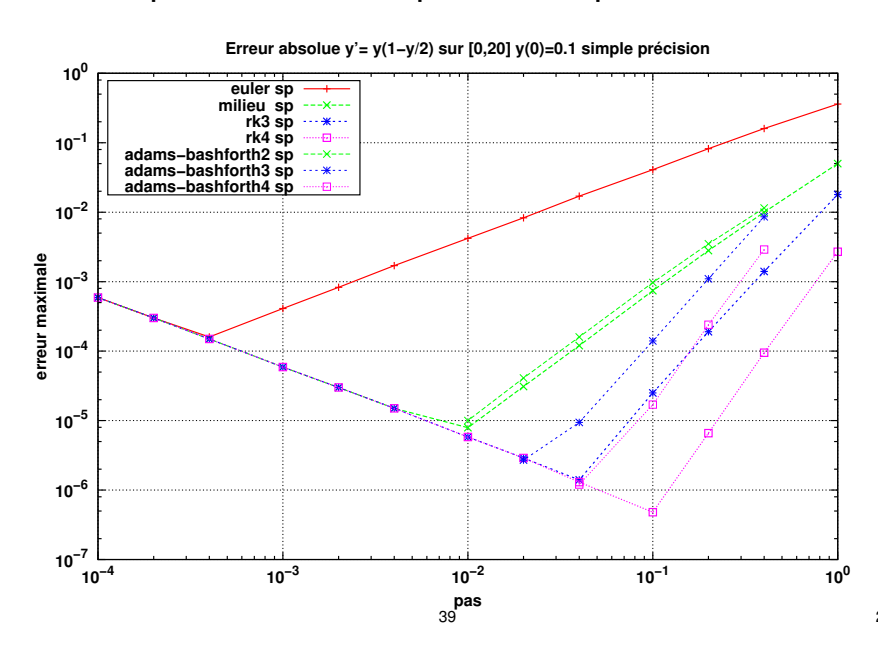
## Adams-Bashforth à deux pas

Méthode explicite d'ordre deux mais seulement une évaluation nouvelle du membre à second chaque pas mémoriser les

seconds membres.

37 3 Méthodes à plusieurs pas

#### 3.1.3 Comparaison méthodes à un pas et Adams explicite



2018-2019

3.1 Méthodes d'Adams

#### 3.1.4 Méthodes de prédicteur correcteur

**Principe :** bénéficier des qualités d'une méthode implicite mais l'appliquer à une estimation obtenue par une méthode explicite du même ordre (voir Euler modifiée).

- prédiction de  $u_{i+1}$  par une méthode explicite
- correction de  $u_{i+1}$  par une formule implicite où  $f(t_{i+1}, y(t_{i+1}))$  a été approximé par la prédiction  $f(t_{i+1}, u_{i+1})$ .

Exemple: méthode d'Euler modifiée

Une itération de la partie correction est possible.

L'ordre est celui du correcteur, mais la stabilité dépend plus du prédicteur.

Ces méthodes permettent d'**estimer l'erreur de troncature** à partir de la différence entre prédicteur et correcteur  $\Longrightarrow$  adaptation du pas

MNCS 40 2018-2019

3 Méthodes à plusieurs pas

d'où le facteur q à appliquer au pas :

EDO

$$q \approx \left(\frac{h\delta}{u_{i+1}^{\star} - u_{i+1}}\right)^{1/n} \tag{16}$$

- Si q < 1, refuser  $u_{i+1}$  et diminuer le pas
- Si q>1, accepter  $u_{i+1}$  et augmenter le prochain pas

En pratique, limiter le pas à un intervalle raisonnable et éviter des variations brutales. On suppose ici que le pas choisi permet de négliger l'erreur d'arrondi.

#### 3.2.1 Exemple : méthode de Runge Kutta Fehlberg

Une méthode de Runge Kutta d'**ordre 5** (6 évaluations de f) permet de contrôler la précision obtenue par un Runge Kutta d'**ordre 4** utilisant les évaluations de f aux **mêmes points** que celle d'ordre 5 (les poids ne sont pas ceux de la méthode d'ordre 4 classique).

#### 3.2 Méthodes adaptatives

Principe: ajuster le pas localement pour obtenir une précision imposée.

Estimer l'erreur de troncature par l'écart entre deux solutions numériques :

$$u_i^\star$$
, d'ordre  $n+1$  
$$\eta_i^\star = \frac{y(t_{i+1}) - u_{i+1}^\star}{h} \propto h^{n+1} \tag{13b}$$

or 
$$h \ll 1$$
 donc  $\eta_i pprox \frac{u_{i+1}^\star - u_{i+1}}{h} \propto h^n$  (13c)

#### Modification du pas d'un facteur q

$$\eta_i(hq) \approx q^n \eta_i(h) \approx \frac{q^n}{h} (u_{i+1}^{\star} - u_{i+1}) \tag{14}$$

Pour obtenir une **précision** globale  $\Delta y \approx L\delta$ , imposer localement :

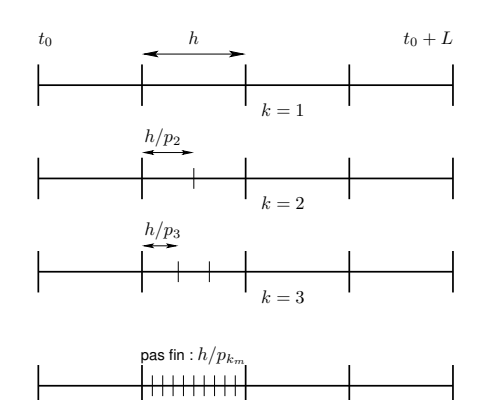
$$|\eta_i(hq)| \approx \delta \tag{15}$$

MNCS 41 2018-2019

EDO 3 Méthodes à plusieurs pas 3.3 Méthodes d'extrapolation de Gragg

### 3.3 Méthodes d'extrapolation de Gragg

#### 3.3.1 Principe de l'extrapolation



#### Subdivisions successives

Découpage de l'intervalle de pas grossier h en sous-intervalles de pas fin  $h_k=h/p_k$  de plus en plus petits.

Développement polynomial de l'erreur de troncature en fonction du pas pour extrapoler au pas nul  $(h_k o 0)$ .

3.2 Méthodes adaptatives

Exemple de la méthode d'Euler : l'erreur de troncature globale sur un pas

**grossier** h est du premier ordre en fonction du pas fin  $h/p_k$ .

Par exemple, pour les subdivisions  $p_1$  et  $p_2$ :

$$y(t+h) = v_1 + a_1 \left(\frac{h}{p_1}\right) + a_2 \left(\frac{h}{p_1}\right)^2 + \cdots$$
 (17)

$$y(t+h) = v_2 + a_1 \left(\frac{h}{p_2}\right) + a_2 \left(\frac{h}{p_2}\right)^2 + \cdots$$
 (18)

**Combinaison linéaire** de ces deux estimateurs  $v_1$  et  $v_2$ 

- $\Rightarrow$  éliminer le terme d'ordre 1 de l'erreur ( $a_1$  inconnu)
- $\Rightarrow$  nouvel estimateur  $w_{2,2}$  d'ordre 2 tel que :

$$y(t+h) = w_{2,2} + b_2 \left(\frac{h}{p_2}\right)^2 + \cdots$$

$$w_{2,2} = \frac{(p_2/p_1) w_{2,1} - w_{1,1}}{p_2/p_1 - 1} = w_{2,1} + \frac{w_{2,1} - w_{1,1}}{p_2/p_1 - 1}$$
(19)

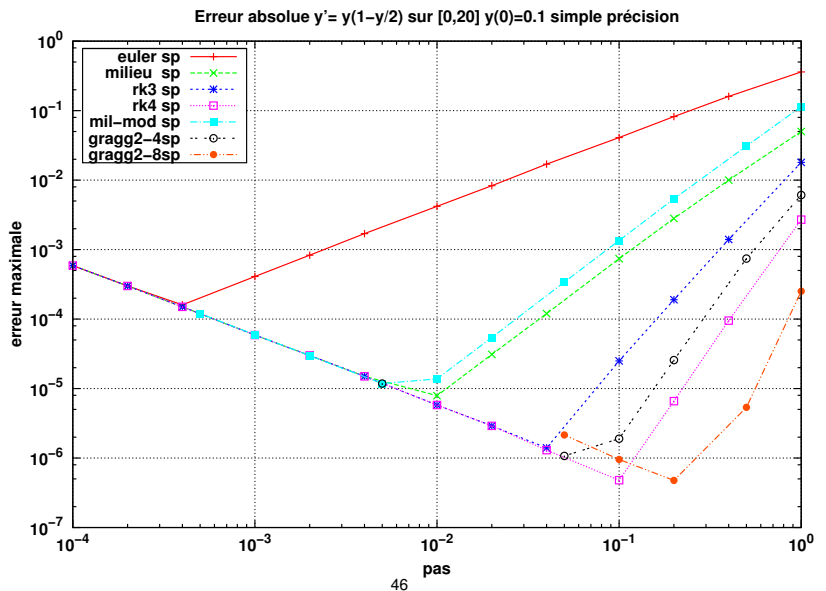
MNCS 44 2018-2019

EDO 3 Méthodes à plusieurs pas 3.3 Méthodes d'extrapolation de Grago

MNCS

EDO 4 Les EDO du premier ordre en pratique

#### 3.3.2 Comparaison méthodes à un pas et extrapolation de Gragg



#### Autre exemple avec la méthode du point milieu :

- l'erreur de troncature globale sur h est d'ordre 2 en fonction du pas  $h/p_k$ ;
- pas de termes d'ordre impair dans le développement de l'erreur.

Combinaison linéaire de deux estimateurs avec des pas fins différents :

- ⇒ élimination du terme d'ordre 2 de l'erreur de troncature
- ⇒ erreur de troncature d'ordre 4

Itérer le processus avec une suite de subdivisions et de combinaisons linéaires d'estimateurs pour augmenter l'ordre de l'erreur de troncature.

L'écart  $w_{k+1,k+1} - w_{k,k}$  donne une estimation de l'erreur de troncature si on retient la solution  $w_{k,k}$ . En ajustant, pour chaque intervalle de largeur h, le nombre  $k_m$  de subdivisions pour respecter une erreur absolue imposée, on obtient une

Mais amélioration limitée par l'erreur d'arrondi...

version adaptative de la méthode de Gragg.

45 2018-2019

## Les EDO du premier ordre en pratique

### Échelles de temps et problèmes raides

Ne pas oublier que chaque problème différentiel possède une ou plusieurs échelles de temps propres (périodes ou pseudo-périodes, constantes de temps).

La solution ne peut être représentée correctement qu'avec un pas assez inférieur au plus petit de ces temps propres.

Cette analyse impose donc une valeur maximale pour le pas.

Certains problèmes différentiels qualifiés des raides comportent des échelles de temps très différentes : leur intégration numérique s'avère délicate et coûteuse (pas faible pour respecter le temps court, mais nombreux pour accéder au temps long). Il existe des méthodes spécifiques des EDO raides qui ne sont pas présentées ici.

2018-2019

MNCS

EDO

#### 4.2 Validation des résultats

EDO

#### Validation via une solution analytique d'un problème simplifié

Lorsqu'une solution analytique est disponible (par exemple pour certaines valeurs de paramètres qui permettent de simplifier l'EDO), sa comparaison avec la solution numérique permet de tester la méthode. Le calcul de l'erreur dans le domaine où la troncature domine permet d'extrapoler l'effet d'un changement de pas connaissant l'ordre de la méthode.

#### Validation sans solution analytique

Dans le cas où aucune solution analytique de référence n'est disponible, la validation s'appuie sur les mêmes outils que les méthodes adaptatives :

- diminution du pas (division par 2)
- augmentation de l'ordre de la méthode
- extrapolation de Gragg
- calcul d'invariants (énergie par exemple)

MNCS 48

EDO 5 Systèmes d'EDO du 1er ordre

## 5 Systèmes d'équations différentielles du 1er ordre

### 5.1 Extension des méthodes scalaires explicites aux vecteurs

Système de n équations différentielles couplées du premier ordre associées à n conditions initiales

$$\begin{array}{rcl} \frac{\mathrm{d}y_1}{\mathrm{d}t} & = & f_1(t,\, \textbf{\textit{y}}_1, y_2, \dots, y_n) \\ \frac{\mathrm{d}y_2}{\mathrm{d}t} & = & f_2(t,\, y_1, \textbf{\textit{y}}_2, \dots, y_n) \\ \dots & = & \dots \\ \frac{\mathrm{d}y_n}{\mathrm{d}t} & = & f_n(t,\, y_1, y_2, \dots, \textbf{\textit{y}}_n) \end{array} \qquad \begin{array}{c} \begin{pmatrix} y_1 \\ y_2 \\ \dots \\ y_n \end{pmatrix} \quad \text{et} \quad \\ \end{pmatrix}$$

#### 4.3 Structure des programmes de résolution d'EDO du 1er ordre

- 1. un algorithme de base (appliquant une méthode d'ordre 1, 2, 3 ou 4 à la fonction second membre f passée en argument) permettant d'avancer d'un pas dans l'intégration de l'équation différentielle
- éventuellement une procédure qui choisit le pas le plus grand possible compatible avec la précision attendue et contrôle la progression de l'intégration (elle pourrait comporter un algorithme adaptatif)
- un programme d'interface avec l'utilisateur qui choisit la méthode, le second membre, lit les paramètres (conditions initiales par ex.), déclenche et arrête la boucle d'intégration et stocke les résultats.
- 4. un module comportant **les fonctions seconds membres** de l'équation différentielle et les éventuelles solutions analytiques exactes ou approchées
- 5. un module d'**utilitaires** notamment pour écrire les résultats dans un fichier pour visualisation ultérieure.

49 2018-2019

5.1 Méthodes scalaires explicites

5 Systèmes d'EDO du 1er ordre

Les **méthodes explicites** de résolution des équations différentielles scalaires du premier ordre **s'appliquent aux systèmes**.

$$\frac{\mathrm{d}\vec{\mathbf{y}}}{\mathrm{d}t} = \vec{\mathbf{f}}(t, \vec{\mathbf{y}})$$

À chaque étape, effectuer les calculs **sur chaque composante** avant de passer à l'étape suivante : exemple avec **point milieu** 

Étape 1 : vecteur des pentes au bord gauche de l'intervalle

$$\vec{\mathbf{k}_1} = \vec{\mathbf{f}}(t_1, \, \vec{\mathbf{y}_1})$$

$$k_{1,1} = f_1(t_1, \, y_{1,1}, \, y_{1,2}, \, \dots, \, y_{1,n})$$

$$k_{1,2} = f_2(t_1, \, y_{1,1}, \, y_{1,2}, \, \dots, \, y_{1,n})$$

$$\dots = \dots$$

$$k_{1,n} = f_n(t_1, \, y_{1,1}, \, y_{1,2}, \, \dots, \, y_{1,n})$$

MNCS 50 2018-2019 MNCS 51 2018-2019

#### Étape 2 : vecteur des pentes au point milieu prédit

$$\overrightarrow{\mathbf{k}_2} = \overrightarrow{\mathbf{f}}(t_1 + h/2, \overrightarrow{\mathbf{y}_1} + \overrightarrow{\mathbf{k}_1}h/2)$$

$$k_{2,1} = f_1(t_1 + h/2, y_{1,1} + k_{1,1}h/2, y_{1,2} + k_{1,2}h/2, \dots, y_{1,n} + k_{1,n}h/2)$$

$$k_{2,2} = f_2(t_1 + h/2, y_{1,1} + k_{1,1}h/2, y_{1,2} + k_{1,2}h/2, \dots, y_{1,n} + k_{1,n}h/2)$$

$$k_{2,n} = f_n(t_1 + h/2, y_{1,1} + k_{1,1}h/2, y_{1,2} + k_{1,2}h/2, \dots, y_{1,n} + k_{1,n}h/2)$$

#### Étape 3 : vecteur résultat au bord droit de l'intervalle

$$\vec{\mathbf{u}}_{i+1} = \vec{\mathbf{u}}_i + h \; \vec{\mathbf{k}}_2$$

MNCS 52 2018-2019

EDO 5 Systèmes d'EDO du 1er ordre 5.2 Équations de Lotka-Volterra

#### Lotka-Volterra: cycle dans le plan de phase

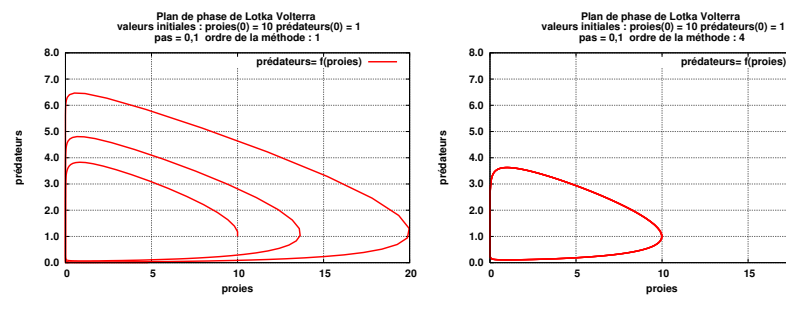
En éliminant le temps, on obtient un invariant, donc des solutions périodiques :

$$\frac{\mathrm{d}y_2}{\mathrm{d}y_1} = -\frac{a_2 y_2}{a_1 y_1} \frac{1 - y_1/k_1}{1 - y_2/k_2} \quad \Rightarrow \quad \boxed{y_1^{a_2} y_2^{a_1} \mathrm{e}^{-a_1 y_2/k_2 - a_2 y_1/k_1} = \mathsf{C}^{\mathsf{te}}}$$

Tangentes horizontales pour  $y_1 = k_1$  (ou  $y_2 = 0$ ) : équilibre des prédateurs

Tangentes verticales pour  $y_2 = k_2$  (ou  $y_1 = 0$ ) : équilibre des proies

$$k_1 = k_2 = 1, a_1 = 1, a_2 = 0, 2$$



Méthode d'Euler: non périodique

#### Runge Kutta d'ordre 4 : cycle correct

## 5.2 Exemple de système non-linéaire couplé du premier ordre : éguations de Lotka-Volterra

5 Systèmes d'EDO du 1er ordre

Deux populations en conflit : modèle proies  $(y_1)$  – prédateurs  $(y_2)$ 

 $a_1 = 1/\tau_1$  = taux de croissance de  $y_1$  (proies) en l'absence de  $y_2$  (prédateurs)

 $a_2 = 1/\tau_2$  = taux de décroissance de  $y_2$  (prédateurs) en l'absence de  $y_1$  (proies)

Termes de couplage non-linéaires en  $y_1y_2$  (rencontre des 2 espèces)

 $\frac{a_1}{k_2}y_2$  = taux de destruction des proies par les prédateurs

 $\frac{a_2}{k_1}y_1$  = taux de croissance des prédateurs au détriment des proies

$$\frac{\mathrm{d}y_1}{\mathrm{d}t} = +a_1 y_1 \left( 1 - \frac{y_2}{k_2} \right) \tag{20a}$$

$$\frac{\mathrm{d}y_2}{\mathrm{d}t} = -a_2 y_2 \left( 1 - \frac{y_1}{k_1} \right) \tag{20b}$$

Solutions périodiques

EDO

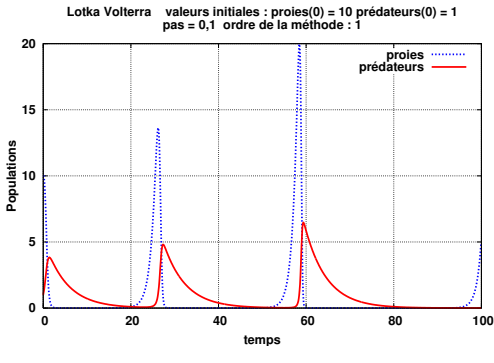
MNCS 53 2018-2019

EDO 5 Systèmes d'EDO du 1er ordre 5.2 Équations de Lotka-Volterra

5.2 Équations de Lotka-Volterra

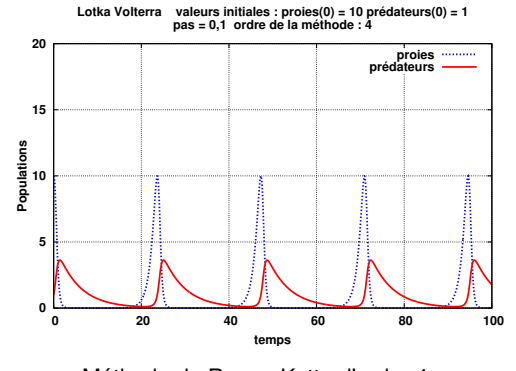
## Résolution numérique de Lotka-Volterra : $k_1 = k_2 = 1$ , $a_1 = 1$ , $a_2 = 0, 2$ , h = 0, 1

#### Échelles linéaires



Méthode d'Euler progressive :

Les solutions divergent

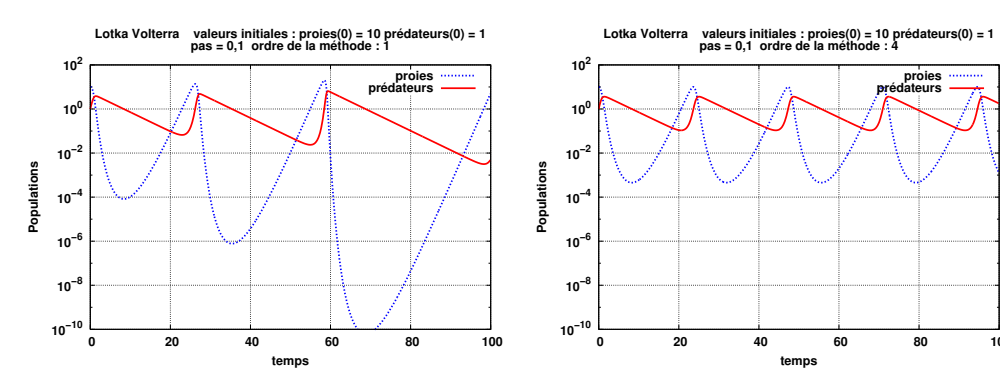


Méthode de Runge Kutta d'ordre 4 :

Cycle stable

MNCS 2018-2019 MNCS 55 2018-2019

## Résolution numérique de Lotka-Volterra : $k_1 = k_2 = 1$ , $a_1 = 1$ et $a_2 = 0, 2$ . Échelle loa en ordonnée



Méthode d'Euler progressive : divergente

Méthode de Runge Kutta d'ordre 4 : stable

Pente avec peu de proies :  $\frac{\mathrm{d} \ln \mathbf{y}_2}{\mathrm{d}t} \approx -1/\tau_2$  d'où facteur  $e^{-4} \approx 1/54$  sur une durée de  $20 = 4\tau_2$ .

Pente avec peu de prédateurs :  $\frac{\mathrm{d} \ln y_1}{\mathrm{d} t} \approx 1/\tau_1$  d'où facteur 100 sur durée de  $4,6=4,6\tau_1$ 

MNCS 2018-2019

EDO 6 Équations différentielles d'ordre supérieur

6.1 Exemple

EDO

MNCS

6 Équations différentielles d'ordre supérieur

57

6.2 Exemple d'EDO d'ordre 2 : le pendule

2018-2019

## 6.1 Exemple

Système linéaire du second ordre avec excitation h(t)

$$\frac{\mathrm{d}^2 y}{\mathrm{d}t^2} = a \frac{\mathrm{d}y}{\mathrm{d}t} + by + h(t)$$

Poser

$$\begin{pmatrix} y_1 \\ y_2 \end{pmatrix} = \begin{pmatrix} y \\ y' \end{pmatrix} \quad \Rightarrow \quad \begin{pmatrix} y_1' \\ y_2' \end{pmatrix} = \begin{pmatrix} y_2 \\ ay_2 + by_1 + h(t) \end{pmatrix}$$

58

Condition initiale vectorielle : position  $y(t_0)$  et vitesse  $y'(t_0)$ 

**Remarque** Système différentiel d'ordre p de dimension n

 $\Rightarrow$  système différentiel couplé du premier ordre à np dimensions.

## Équations différentielles d'ordre supérieur

$$\frac{\mathrm{d}^n y}{\mathrm{d}t^n} = f\left(t, \ y, \ \frac{\mathrm{d}y}{\mathrm{d}t}, \ \dots, \ \frac{\mathrm{d}^{n-1}y}{\mathrm{d}t^{n-1}}\right)$$

Une EDO scalaire d'ordre n se ramène à un système de n équations différentielles du premier ordre couplées en posant :

$$\begin{pmatrix} y_1 \\ y_2 \\ \dots \\ y_n \end{pmatrix} = \begin{pmatrix} y \\ y' \\ \dots \\ y^{(n-1)} \end{pmatrix} \implies \begin{pmatrix} y'_1 \\ y'_2 \\ \dots \\ y'_n \end{pmatrix} = \begin{pmatrix} y_2 \\ y_3 \\ \dots \\ f(t, y_1, y_2, \dots, y_n) \end{pmatrix}$$

## 6.2 Exemple d'EDO d'ordre 2 : le pendule

Pendule non linéaire (y = position angulaire)

$$\boxed{\frac{\mathrm{d}^2 y}{\mathrm{d}t^2} = -k^2 \mathrm{sin}(y)} \quad \text{où} \quad k^2 = g/l \tag{21}$$

Pendule linéarisé (cas des petites amplitudes) :  $\sin(y) \approx y$ 

$$\frac{\mathrm{d}^2 y}{\mathrm{d}t^2} = -k^2 y \tag{22}$$

l'équation linéarisée admet une solution analytique en  $A\cos(kt) + B\sin(kt)$ .

Exprimer cette EDO non linéaire du second ordre sous la forme d'un système différentiel couplé de dimension 2 mais du premier ordre.

$$\begin{pmatrix} y_1 \\ y_2 \end{pmatrix} = \begin{pmatrix} y \\ y' \end{pmatrix} \implies \begin{pmatrix} y_1' \\ y_2' \end{pmatrix} = \begin{pmatrix} y_2 \\ -k^2 \sin(y_1) \end{pmatrix}$$

Résolution système non-linéaire, avec le vecteur des valeurs initiales :

$$\begin{pmatrix} y_1(0) \\ y_2(0) \end{pmatrix} = \begin{pmatrix} y(0) \\ \frac{\mathrm{d}y}{\mathrm{d}t}(0) = a \end{pmatrix} = \begin{pmatrix} \text{position angulaire} \\ \text{vitesse angulaire} \end{pmatrix}$$

**Énergie mécanique** conservée (après division par  $ml^2$ ):

$$\frac{1}{2} \left( \frac{\mathrm{d}y}{\mathrm{d}t} \right)^2 + k^2 (1 - \cos y) = \text{constante}$$

Cas où y(0) = 0 (départ en position d'équilibre stable)

$$\frac{1}{2} \left( \frac{\mathrm{d}y}{\mathrm{d}t} \right)^2 + k^2 (1 - \cos y) = \frac{1}{2} \left( \frac{\mathrm{d}y}{\mathrm{d}t} (0) \right)^2$$

Vitesse angulaire minimale pour  $y=\pi$  (position d'équilibre instable si atteinte).

Si  $a = \frac{dy}{dt}(0) > 2k$  (seuil)  $\Rightarrow$  la vitesse angulaire ne s'annule pas (apériodique).

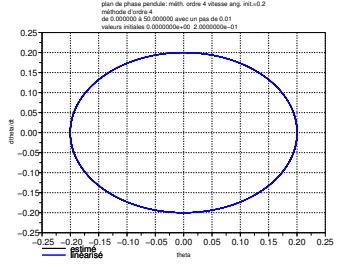
Étude de la transition périodique-apériodique selon a dans le cas où k=1

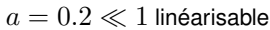
MNCS 2018-2019

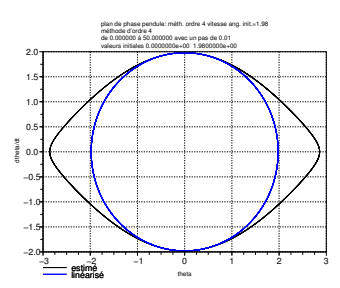
6 Équations différentielles d'ordre supérieur

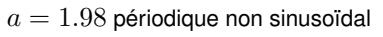
6.2 Exemple d'EDO d'ordre 2 : le pendule

### Comparaisons non-linéaire (RK 4)-analytique linéarisé : plan de phase y'(y)



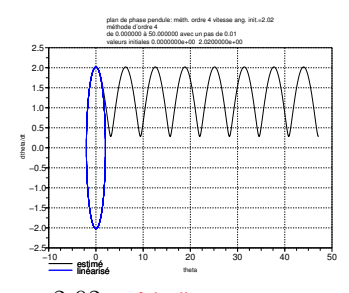






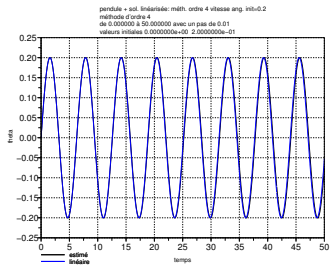


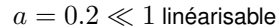
a=1 périodique non sinusoïdal

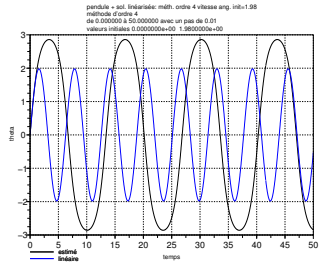


$$a=2.02$$
 apériodique

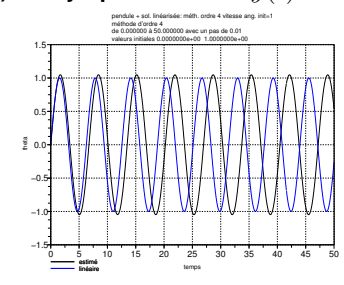
#### Comparaisons non-linéaire (Runge-Kutta 4)—analytique linéarisé : y(t)



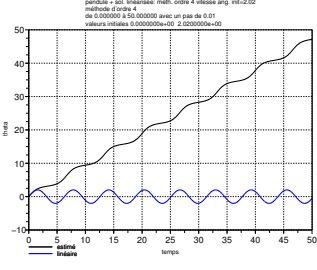




a=1.98 périodique non sinusoïdal MNCS



a=1 périodique non sinusoïdal



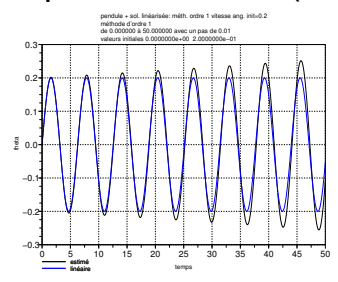
6 Équations différentielles d'ordre supérieur

a=2.02 apériodique

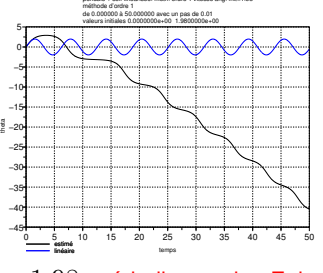
6.2 Exemple d'EDO d'ordre 2 : le pendule

2018-2019

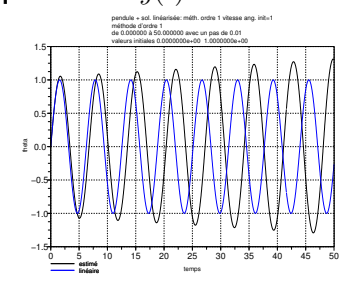
## Comparaisons non-linéaire (Euler)—analytique linéarisé y(t)



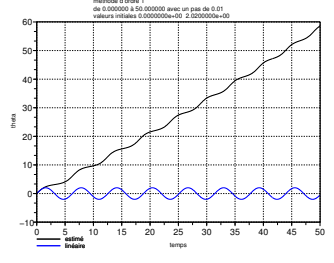




a=1.98 apériodique selon Euler!





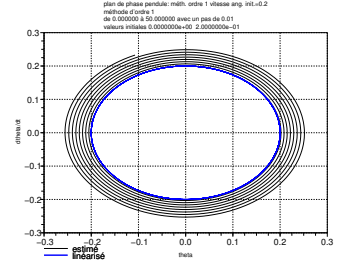


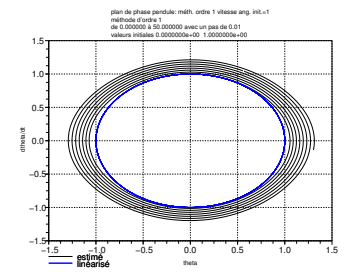
a = 2.02

2018-2019

EDO

## Comparaisons non-linéaire (Euler)–analytique linéarisé : plan de phase $y^\prime(y)$

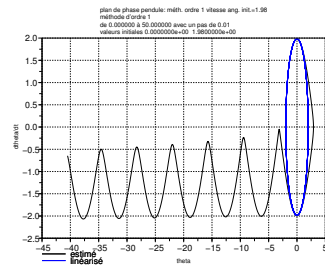


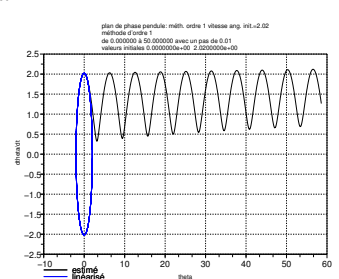


a = 0.2

MNCS

EDO





a = 1.98 apériodique selon Euler!

a = 2.02

a=1

2018-2019

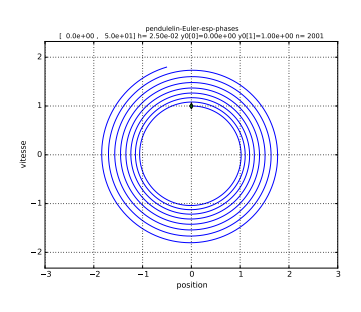
MNCS

EDO

Stabilité à long terme avec Euler progressive et rétrograde

Pendule linéarisé sans frottement représenté dans l'espace des phases : comportement à long terme d'un système non dissipatif

Même méthode sur les 2 composantes (position et vitesse) h=0.025



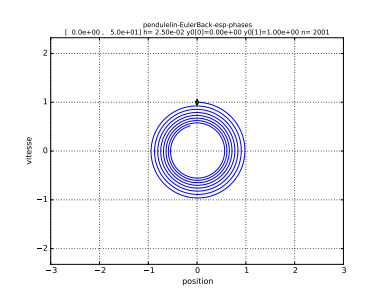


FIGURE 4 – Euler progressive : instable, amplification

FIGURE 5 – Euler rétrograde : stable, contraction

2018-2019

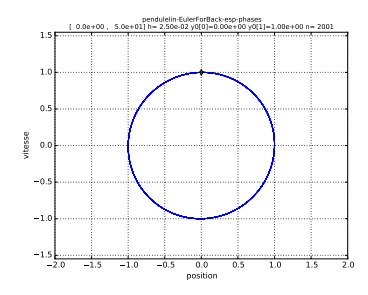
6 Équations différentielles d'ordre supérieur

6.2 Exemple d'EDO d'ordre 2 : le pendule

6.2 Exemple d'EDO d'ordre 2 : le pendule

7 Implémentation vectorielle

## Alternance des méthodes progressive et rétrograde entre position et vitesse



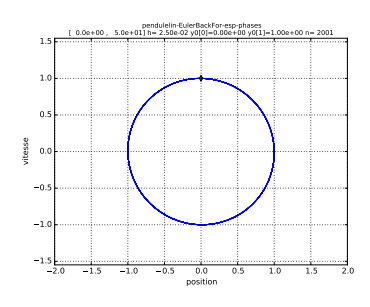


FIGURE 6 – Euler mixte

- progressive sur position,
- rétrograde sur vitesse.

- FIGURE 7 Euler mixte
- rétrograde sur position,
- progressive sur vitesse.

## 7 Mise en œuvre vectorielle des méthodes à un pas

65

#### 7.1 Introduction

- Les méthodes d'intégration doivent fonctionner quelle que soit la taille p des vecteurs qui représentent la solution  $\vec{y}$  et le second membre  $\vec{f}$  de l'EDO.
- Il en est de même pour l'interface formelle de la fonction second membre en fortran ou le pointeur de fonction second membre en C.
- C'est le programme principal qui fixera cette taille.
   Il devra donc choisir un second membre de la même dimension.
- Les tailles des tableaux des seconds membres effectifs seront héritées du programme principal et non déclarées explicitement.
   Mais seules les p composantes effectives de f (2 pour le pendule : dérivée et dérivée seconde) seront calculées à partir des p composantes de v.

MNCS 66 2018-2019 MNCS 67 2018-2019

#### 7.2 En fortran (norme 2003)

Utiliser des fonctions à argument tableau de rang 1  $\vec{y}$  d'étendue p déterminée à l'exécution (nombre p d'EDO scalaires d'ordre 1) et à résultat tableau de même étendue que  $\vec{y}$  pour :

1. le second membre de l'équation différentielle :

```
MODULE abstrait

ABSTRACT INTERFACE ! de la fct générique IInd mb de l'EDO FUNCTION fty(t, y) ! dy/dt

REAL, DIMENSION(:),INTENT(in) :: y ! variable vecteur REAL, INTENT(in) :: t

REAL, DIMENSION(SIZE(y)) :: fty ! vecteur résultat END FUNCTION fty
END INTERFACE
END MODULE abstrait

L'étendue p du vecteur résultat \overrightarrow{f} effectif sera donc fixée par le programme
```

L'étendue p du vecteur résultat  $\mathbf f$  effectif sera donc fixée par le programme principal via  $\overrightarrow{\mathbf y}$  et non par la fonction second membre.

MNCS 68 2018-2019

EDO 7 Implémentation vectorielle 7.2 En fortran (norme 2003)

3. Dans le programme principal (et dans la procédure d'écriture sur fichier), les solutions vectorielles (analytique et par intégration) sont représentées par des tableaux 2D alloués dynamiquement (n instants, p composantes). Les étendues n et p sont donc choisies à l'exécution, sachant que p doit être correspondre au nombre effectif de composantes du second membre étudié. Mais la dimension temporelle n'est pas « vue » par les méthodes : elles travaillent sur des vecteurs (d'étendue p) dans un intervalle  $[t_i, t_{i+1}]$ , à i fixé.

2. chacune des méthodes à un pas (Euler, point milieu et Runge Kutta) : les pentes locales  $\vec{k}_i$  seront des tableaux locaux, par exemple automatiques.

7 Implémentation vectorielle

```
FUNCTION u2_rk4(u1, t1, h, f)

USE abstrait ! où est définie l'interface abstraite fty

REAL, DIMENSION(:), INTENT(IN) :: u1 ! valeur initiale

REAL, INTENT(IN) :: t1 ! instant initial

REAL, INTENT(IN) :: h ! pas

PROCEDURE(fty) :: f ! déclaration de l'interface de f

REAL, DIMENSION(SIZE(u1)) :: u2_rk4 ! valeur estimée à t1+h
! variables locales de même étendue que u1

REAL, DIMENSION(SIZE(u1)) :: k1, k2, k3, k4 ! pentes locales

...

u2_rk4 = u1 + ...

END FUNCTION u2_rk4
```

MNCS 69 2018-2019

EDO 7 Implémentation vectorielle

7.3 En C89 avec des tableaux dynamiques

7.2 En fortran (norme 2003)

## 7.3 En C89 avec des tableaux dynamiques sur le tas

Utiliser des fonctions à « argument tableau 1D »  $\vec{y}$  de taille déterminée à l'exécution et rendant un pointeur vers un tableau alloué sur le tas de même taille que  $\vec{y}$ .

1. le second membre de l'équation différentielle sera alloué par la fonction  $\overrightarrow{\mathbf{f}}(\overrightarrow{\mathbf{y}},t)$  qui rend le pointeur vers ce tableau, dont la fonction appelante (la méthode d'intégration) devra prendre en charge la libération;

```
float * pendule(float t, float *u, int p) {
  float *second_membre= NULL; /* tableau 1D */
  second_membre = float1d(p); /* allocation sur le tas */
  second_membre[0] = u[1];
  second_membre[1] = -sin(u[0]);
  return second_membre; /* valeur de retour = pointeur */
}
```

2. pour chacune des méthodes à un pas (Euler, point milieu et Runge Kutta) les pentes locales  $\overrightarrow{k_i}$  seront des tableaux alloués et libérés localement, car leur nombre dépend de la méthode; en revanche, le résultat  $\overrightarrow{u}_{i+1}$  qui est aussi vectoriel sera passé en argument (sous forme pointeur plus nombre d'éléments), son allocation et libération prises en charge par l'appelant.

```
void u2_milieu(int p, float *u1, float t1, float h,
               float* (* ptr_f) (float, float*, int),
               float * u2) {
/* permettant d'avancer d'un pas en temps*/
  float *k1 = NULL:
                         /* vecteur pente */
  float *k2 = NULL:
                         /* vecteur pente */
                         /* vecteur intermédiaire */
  float *u12 = NULL:
 k1 = (*ptr_f)(t1, u1, p); /* allocation par la fct IInd membre */
 u12 = float1d (p);
                         /* allocation locale */
  /* ... */
  float1d_libere(k1);
                          /* libération des vecteurs des pentes */
  /* · · · */
```

MNCS 72

7.4 En C99 avec des tableaux automatiques

2018-2019

MNCS

FDO

MNCS

73

7 Implémentation vectorielle

7.4 En C99 avec des tableaux automatiques

2018-2019

## 7.4 En C99 avec des tableaux automatiques

Fonctions à « argument tableau 1D »  $\overrightarrow{y}$  de taille p déterminée à l'exécution Déclaration tardive des tableaux automatiques  $\Rightarrow$  éviter les tableaux dynamiques Mais une fonction ne peut pas rendre un tableau  $\Rightarrow$  fonctions à résultat void  $\Rightarrow$  déclaration du tableau argument par l'appelant et remplissage par la fonction appelée

7 Implémentation vectorielle

1. la fonction second membre de l'équation différentielle remplit le tableau second mb de taille p représentant  $\overrightarrow{\mathbf{f}}(\overrightarrow{\mathbf{v}},t)$ 

qui a été déclaré par l'appelant (la méthode) avec la taille fixée par le main

```
// version C99 avec tableaux automatiques
void pendule(float t, int p, float u[p], float second_mb[p]){
    // p = 2 ici = dimension des vecteurs u et second_membre
    second_mb[0] = u[1];
    second_mb[1] = -sin(u[0]);
    return;
}
```

3. Dans le programme principal (et dans la procédure d'écriture sur fichier), les solutions vectorielles (analytique et par intégration) sont représentées par des tableaux 2D. Mais la dimension temporelle n'est pas « vue » par les méthodes : elles travaillent sur des vecteurs de taille p dans un intervalle  $[t_i,t_{i+1}]$ . Cela impose que les composantes des vecteurs soient contigües en mémoire, donc le deuxième indice est celui des composantes, le premier celui du temps.

```
/* allocation dans le main des tableaux 2D */
u = float2d(n, p); /* n instants et p equations */
/* appel de la méthode du point milieu par exemple */
u2_milieu(p, u[i], t[i], h, &pendule, u[i+1]);
/* donc u[i] est un tableau 1D = vecteur des composantes de u_i
```

2. pour chacune des méthodes à un pas (Euler, point milieu et Runge Kutta) les pentes locales  $\vec{k_i}$  seront des tableaux locaux automatiques, car leur nombre dépend de la méthode; en revanche, le résultat  $\vec{u}_{i+1}$  qui est aussi vectoriel sera passé en argument, sa déclaration étant prise en charge par l'appelant.

3. Dans le programme principal (et dans la procédure d'écriture sur fichier), les solutions vectorielles (analytique et par intégration) sont représentées par des tableaux 2D. Mais la dimension temporelle n'est pas « vue » par les méthodes : elles travaillent sur des vecteurs de taille p dans un intervalle  $[t_i,t_{i+1}]$ . Cela impose que les composantes des vecteurs soient contigües en mémoire, donc le deuxième indice est celui des composantes, le premier celui du temps.

```
// tableaux automatiques 2D C99 déclarés dans le main
// p choisi selon la dimension du second membre
float u[n][p]; // n instants et p equations
// dans la boucle sur les instants i :
// appel de la méthode du point milieu par ex.
u2_milieu(p, u[i], t[i], h, &pendule, u[i+1]);
// u[i] et u[i+1] : vecteurs à p composantes
// t[i] : scalaire
```

#### Références

AKAI, TERRENCE J., *Applied Numerical Methods for Engineers*, 410 pages (Wiley, 1994), ISBN 0-471-57523-2.

RÉFÉRENCES

- BURDEN, RICHARD L. et J. DOUGLAS FAIRES, *Numerical Analysis*, 847 pages (Thompson, Brooks/Cole, 2005), huitième édition, ISBN 0-534-40499-5.
- DEMAILLY, J.-P., *Analyse numérique et équations différentielles*, 350 pages (EDP Sciences, 2006), troisième édition, ISBN 978-2-86883-891-9.
- GUILPIN, CH., *Manuel de calcul numérique appliqué*, 577 pages (EDP Sciences, 1999), ISBN 2-86883-406-X.
- RAPPAZ, JACQUES et MARCO PICASSO, *Introduction à l'analyse numérique*, 268 pages (Presses polytechniques et universitaires romandes, 2010), ISBN 978-2-88074-851-7.